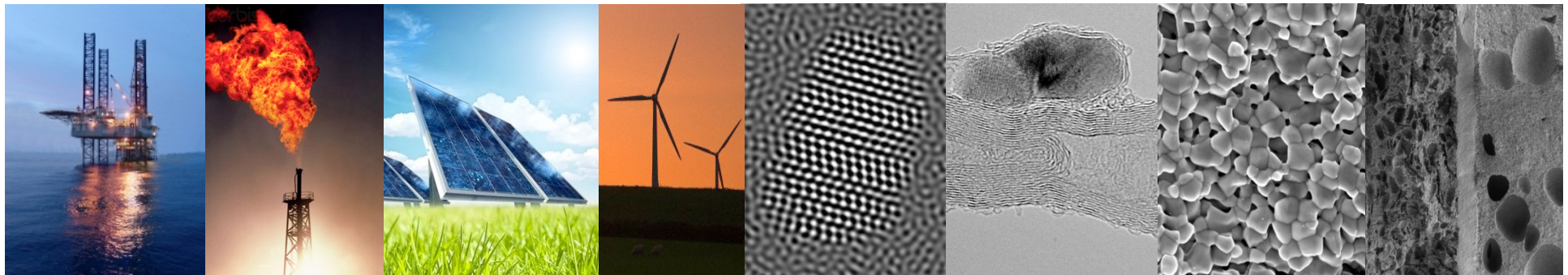


Les Piles à Combustible au Centre des Matériaux

Pôle SIP – 15 décembre 2017



Piles à Combustible

- contexte
- état des lieux
- prochaines étapes

Piles à Combustible

Contexte

1. considérations générales
2. historique PAC au laboratoire
3. cœur de pile et polarisation

1- Considerations at the national level on the energy of the future

- **Energy policy:** not very visible and not very continuous, conflicting national objectives
- **energy transition plan:** focused on the fight against global warming, development of renewable energies (ER) and energy saving
- Must be accompanied by a **long-term policy** and a **global technical and economic analysis**; but difficult to predict (eg a sharp decrease in the cost of renewable energies was not anticipated, what about the storage of electricity, what about the decarbonation of transport?), therefore difficult to invest
- **Storage:** solutions depend on the frequency of demand: if sub-day = batteries; if week = hydraulic; if above = hydrogen. But costly solutions and difficult to integrate massively
- The **development of large-scale ER** requires technological leaps on storage
- Short- and medium-term **energy mix** can not be composed solely of REs; in France, nuclear power will be part of it

1- Considerations at the International level on the energy of the future

- **global context** (growth in Asia and Africa, urbanization, economy) implies an increasing demand for energy, which will be ensured by fossil materials (coal in China and africa)
- **energy policy at the least cost**, for economic competitiveness: focus on R&D, storage, cost reduction in nuclear
- **lack of consistency** in energy decision-making at national and European levels
- **Difficult access to market of electrical ER networks**; local production runs counter to the principle of equal prices and access to the territory (variations in prices accepted for oil, not for electricity)

1- Ruptures and priorities on energy production and storage

- **Batteries** : from Li-ion to Na-ion
- **PV** : maintain efforts on 2nd-generation panels, multilayers, down conversion layers, antireflectivity, bi-modules, colored-filtered cells...
- **Hydrogen**: *storage* in the form of hydrides and/or divided matter and/or in microporous matter, high pressure vessels; *production* via high temperature electrolysis and use in Fuel Cells (France well placed), but requires defining a real and coherent industrial strategy and pursuing R&D efforts without erratic and conflicting decisions (continuity in calls, non-discouraging success rates, support for academic initiatives, sweeping the entire TRL scale, etc.)
- **Nuclear** : sector to be restructured including the fuel cycle, expansion of the catalog of reactors, small modular reactors for small territories and/or operation of small reactors in battery
- **Management of industries with high CO₂ emissions** : techniques for decarbonisation, storage, sequestration, synthetic fuels, require an economic model (CO₂ prices that are currently too low)

2- Historique PAC au laboratoire

Thèses de doctorat

Olivier Sanséau (thèse ENSMP, 2002)
Arnaud Grosjean (thèse ENSMP, 2004)
Julien Hafsaoui (thèse ENSMP, 2009)
Rémi Costa (thèse ENSMP, 2009)
Jackie Milhans (thèse GaTech/ENSMP, 2010)
Joao Abreu (thèse Science et Entreprise, ENSMP, 2011)
Maya Geagea (thèse ENSMP, 2017)
David Masson (thèse ENSMP, 2015)
Rossen Tchakalov (thèse ENSMP, 2020)

DUT, autres

Léo Lagrost (DUT Mesures Physiques, IUTLille, 2011)
Nicolas Rousseau (1^e année de thèse ENSMP, 2007)
Claire Pilot (matériaux Ingénieur, CFA Union,
PolyTech Paris-Sud, Université Paris-Sud)
Guillaume Ciesco (Technicien Supérieur AFPA, 2017)

Post-Doc

André-Pierre ABELARD (LASIPS)

Professeur invité

Gilles Caboche (1 stage, Univ. Bourgogne)

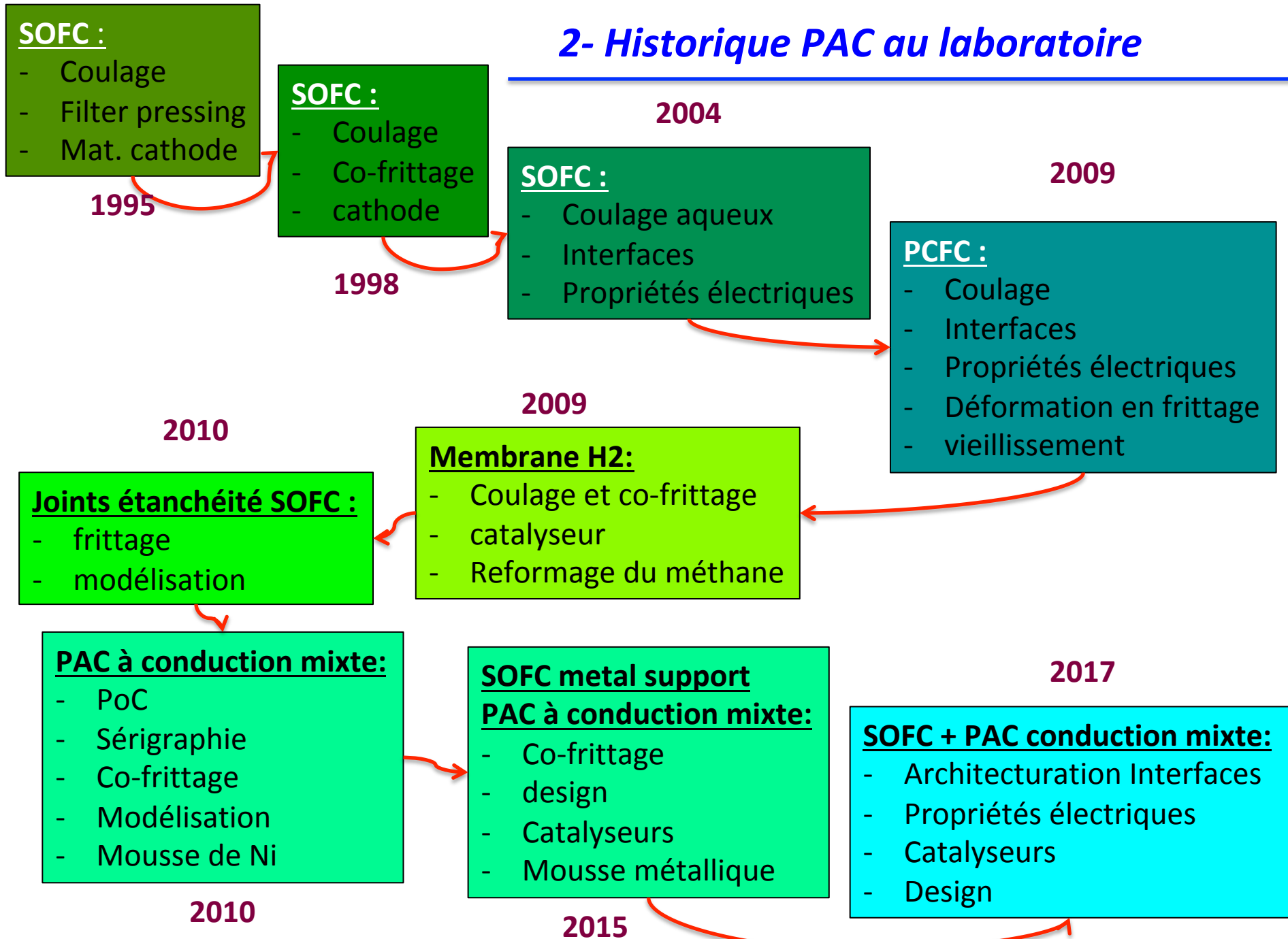
DEA, master(e)

Caroline Curfs (DEA ENSI-Caen, 1998)
Arnaud Grosjean (DEA ENSMP-INSTN, 2001)
Matthieu Caruel (Mastère-2 MSE, 2007)
Ali Laddada (Mastère Pro-2, UEVE, 2007)
Nicolas Wegrzyn (Master II, ENSMSE, 2012)
Meng Xu (Master II, MAGIS, 2014)
Jian Ouyang (Master II, ICARE, 2015)
Joyce Kuoh-Moukouri (Master II, MAGIS)
Yang Zhang (Master II, ICARE, 2016)
Tang Shi (Master II, ICARE, 2016)
Ismahan Hachemi (Master II, MET INSTN, 2017)
Tiankai Lan (Master II, ICARE, 2017)
Yuting Lei (Master II, ICARE, 2017)

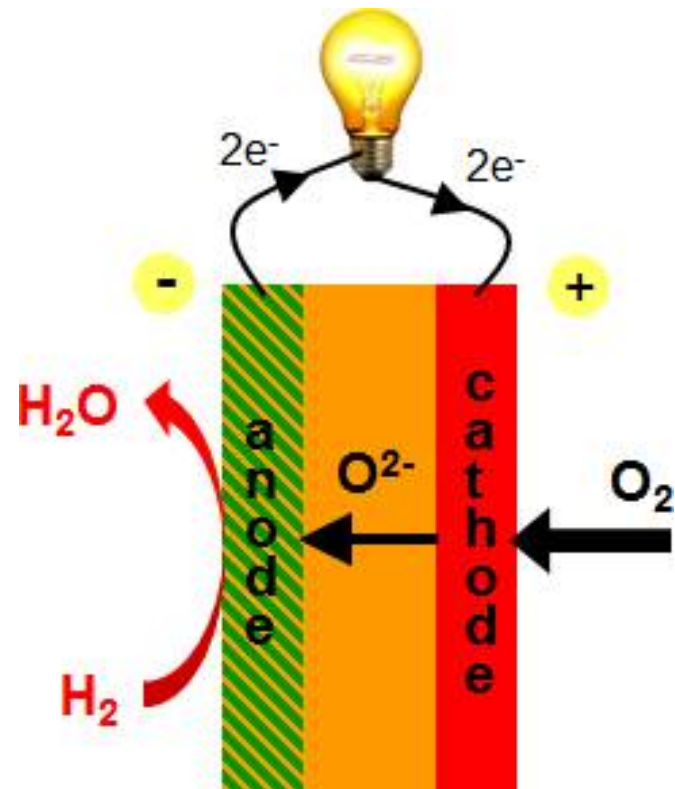
Stagiaires étrangers

Alessio Bassano (stage PhD, CNR-Gênes, 2008)
Dennis Soysal (stage de PhD, DLR-Univ. Stuttgart, 2009)
Wenlu Li (Master ICARE, Huazong University of Science
and Technology, Wuhan, Chine, 2012)
Blagoy Burdin (enseignant-chercheur, IEES, BAS, 2016)

2- Historique PAC au laboratoire

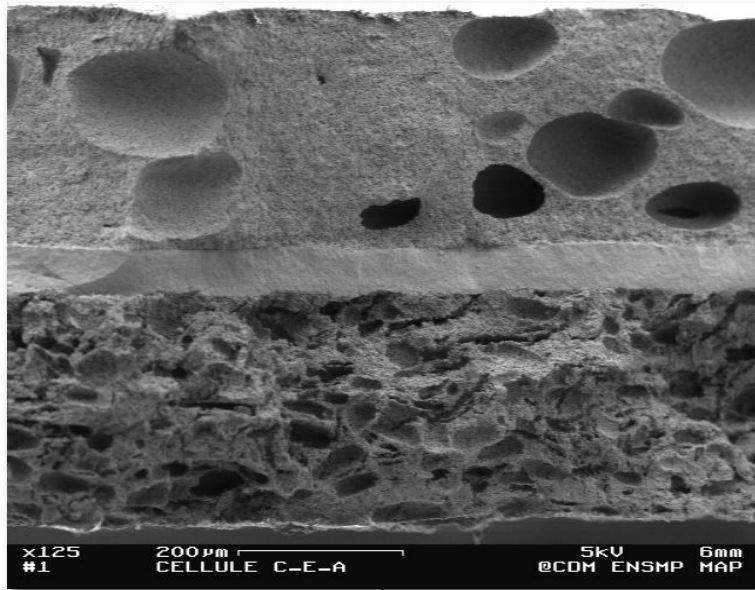


3- Cœur de pile et polarisation



3- Cœur de pile et polarisation

SOFC: made of ceramics



Cathode: LSM

Electrolyte: YSZ

Anode: YSZ + Ni

*Understanding
of ceramics
processing
and sintering*

- Control of the electrodes porosity
- Percolation
- Full density for the electrolyte
- Bonding different materials
- Quasi 2D component ($t \pm 0.5\text{mm}$, $\approx \pm 10\text{cm}$)



$$H = U + pV$$

$$G = H - TS$$

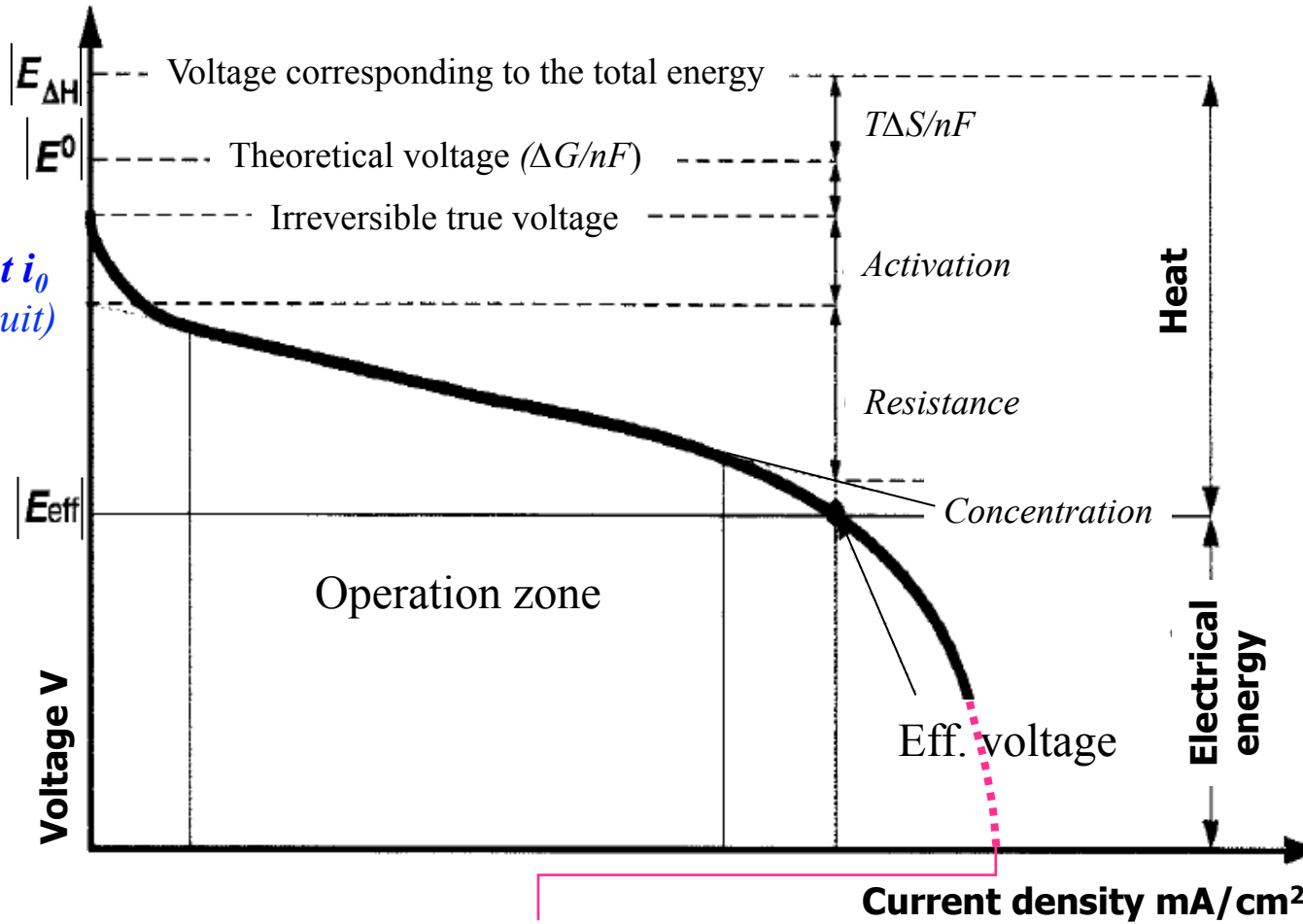
Electrochemical reaction

$$\Delta G = -n.F.E = \Delta H - T \Delta S$$

$$E = \frac{\Delta G}{-n.F} = \frac{\Delta H}{-n.F} - T \frac{\Delta S}{-n.F}$$

$$\frac{\Delta H}{n.F} = \frac{\Delta G}{n.F} + T \frac{\Delta S}{n.F}$$

Exchange current i_0
at $i = 0$ (open circuit)



Saturation currents i_{AS} and i_{CS} at $E(i) = 0$

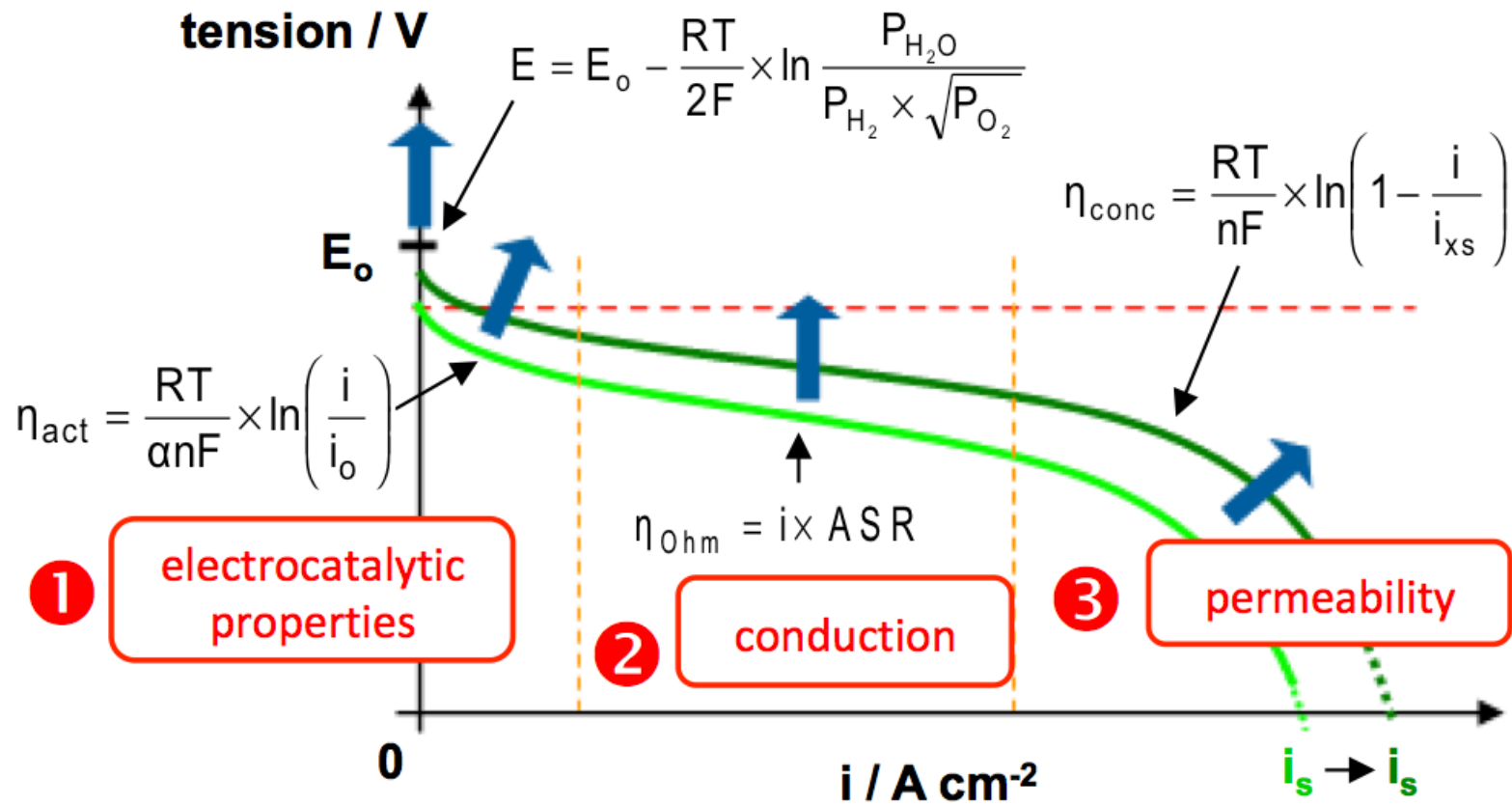
$$E_C = E_0 - iR_i - \eta_{act} - \eta_{conc}$$

Piles à Combustible

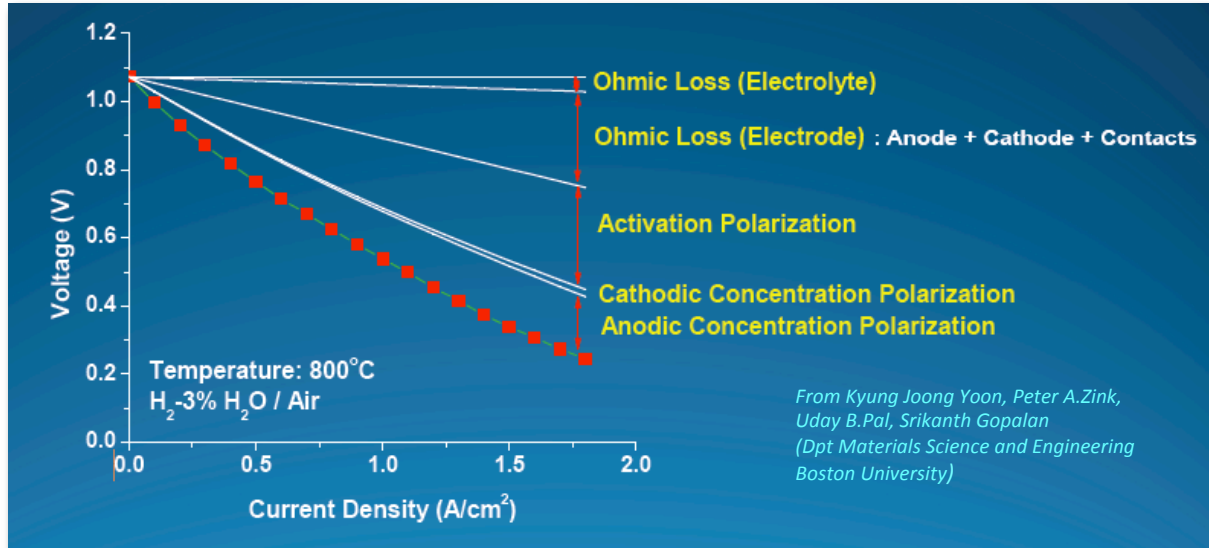
Etat des Lieux

1. voies d'optimisation
2. travaux et résultats
3. les difficultés

1- Voies d'optimisation



1- Voies d'optimisation



Increase of performances

- change of materials with better σ
- microstructure*
- geometry, design*
- interface architecture*
- operation conditions
- catalysts*
- change in conduction type*
- change of concept*

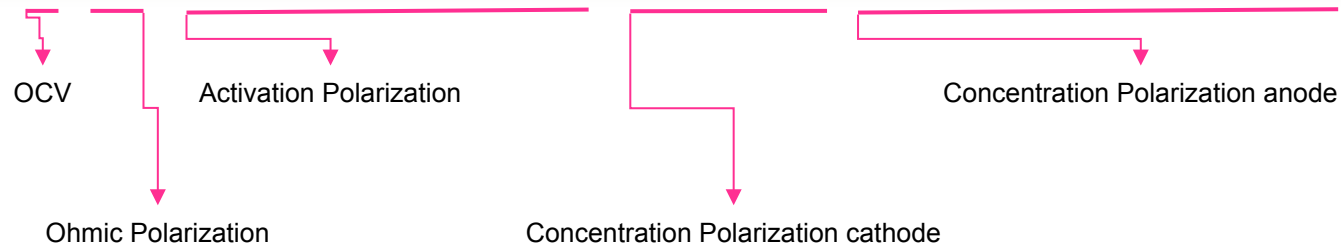
SOFC

PCFC

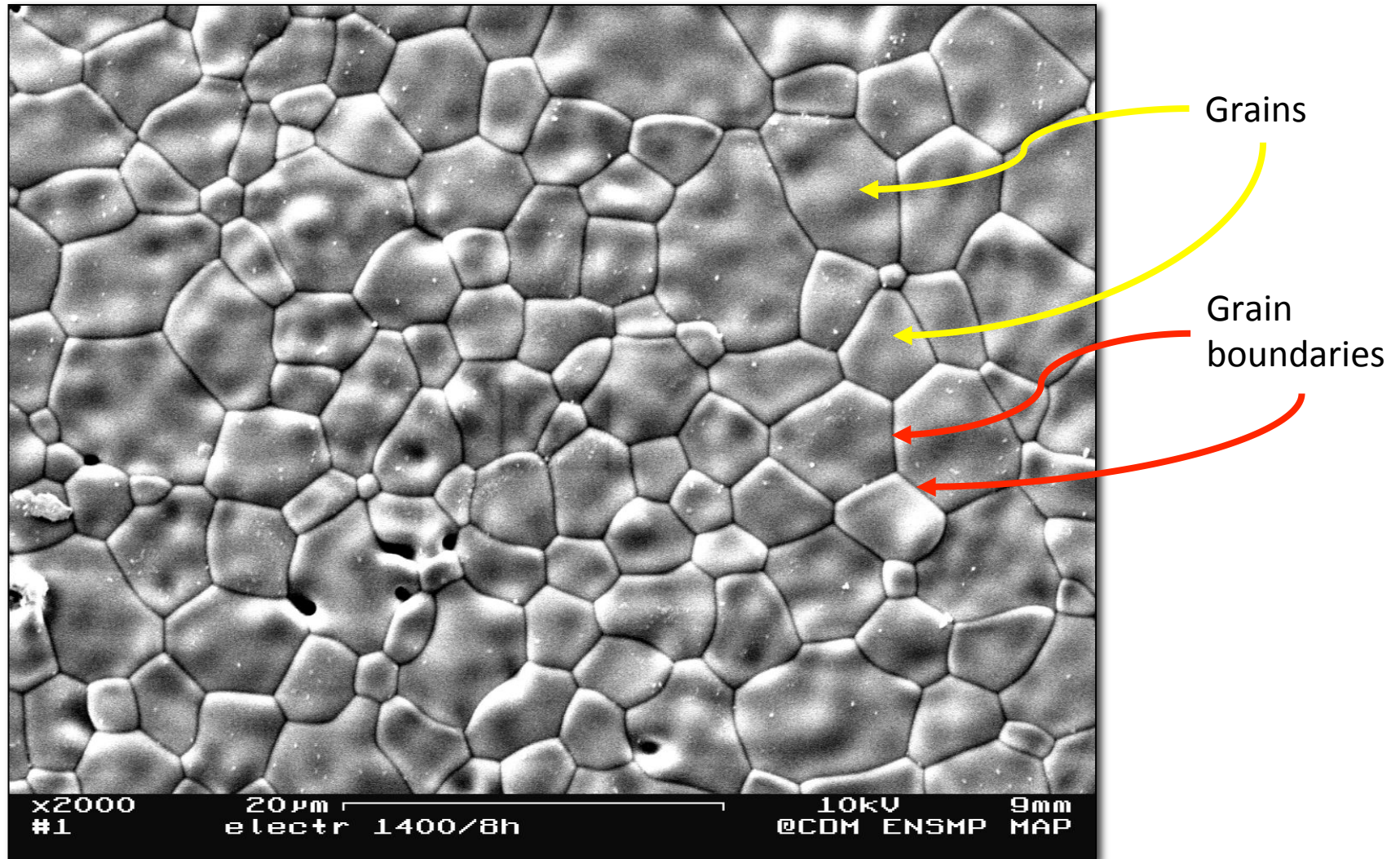
IDEAL-Cell

$$E_C = E_0 - iR_i - \eta_{act} - \eta_{conc}$$

$$E_C = E_0 - iR_i - \frac{RT}{F} \ln \left\{ \frac{1}{2} \left[\left(\frac{i}{i_0} \right) + \sqrt{\left(\frac{i}{i_0} \right)^2 + 4} \right] \right\} + \frac{RT}{4F} \ln \left(1 - \frac{i}{i_{CS}} \right) + \frac{RT}{2F} \ln \left(1 - \frac{i}{i_{AS}} \right) - \frac{RT}{2F} \ln \left(1 + \frac{P_{H_2}^0 i}{P_{H_2O}^0 i_{AS}} \right)$$

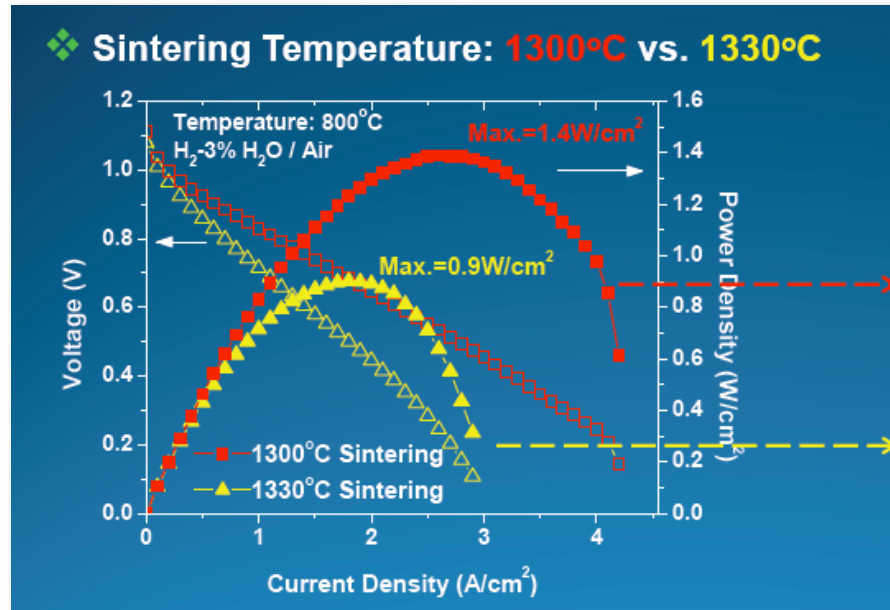


1- Voies d'optimisation : microstructure



Typical microstructure of Zirconia (ZrO₂) used for electrolyte in a SOFC

1- Voies d'optimisation : microstructure

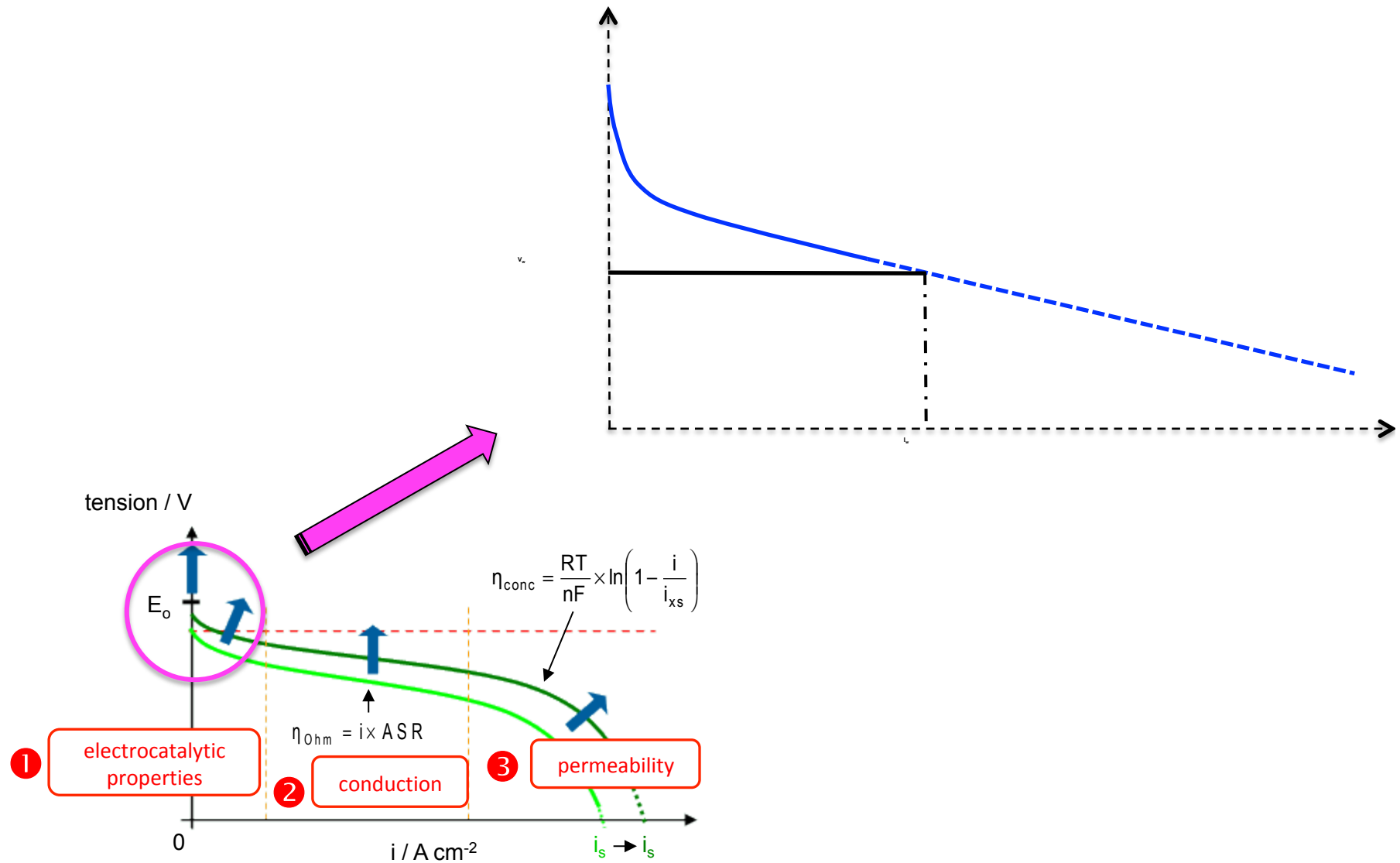


Grain size 2.3µm

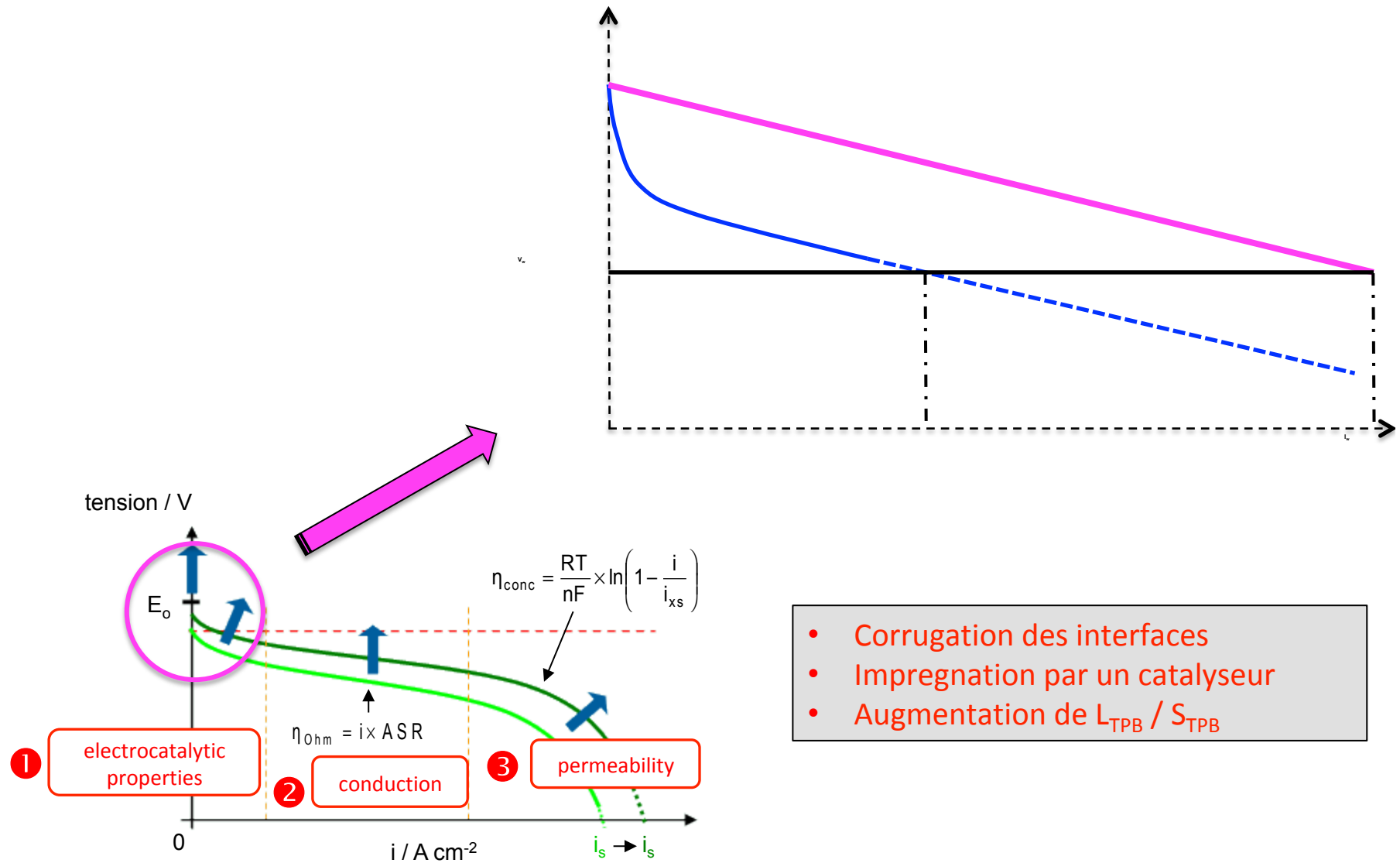
Grain size 3.2µm

From Kyung Joong Yoon, Peter A.Zink,
Uday B.Pal, Srikanth Gopalan
(Dpt Materials Science and Engineering
Boston University)

1- Voies d'optimisation : activation



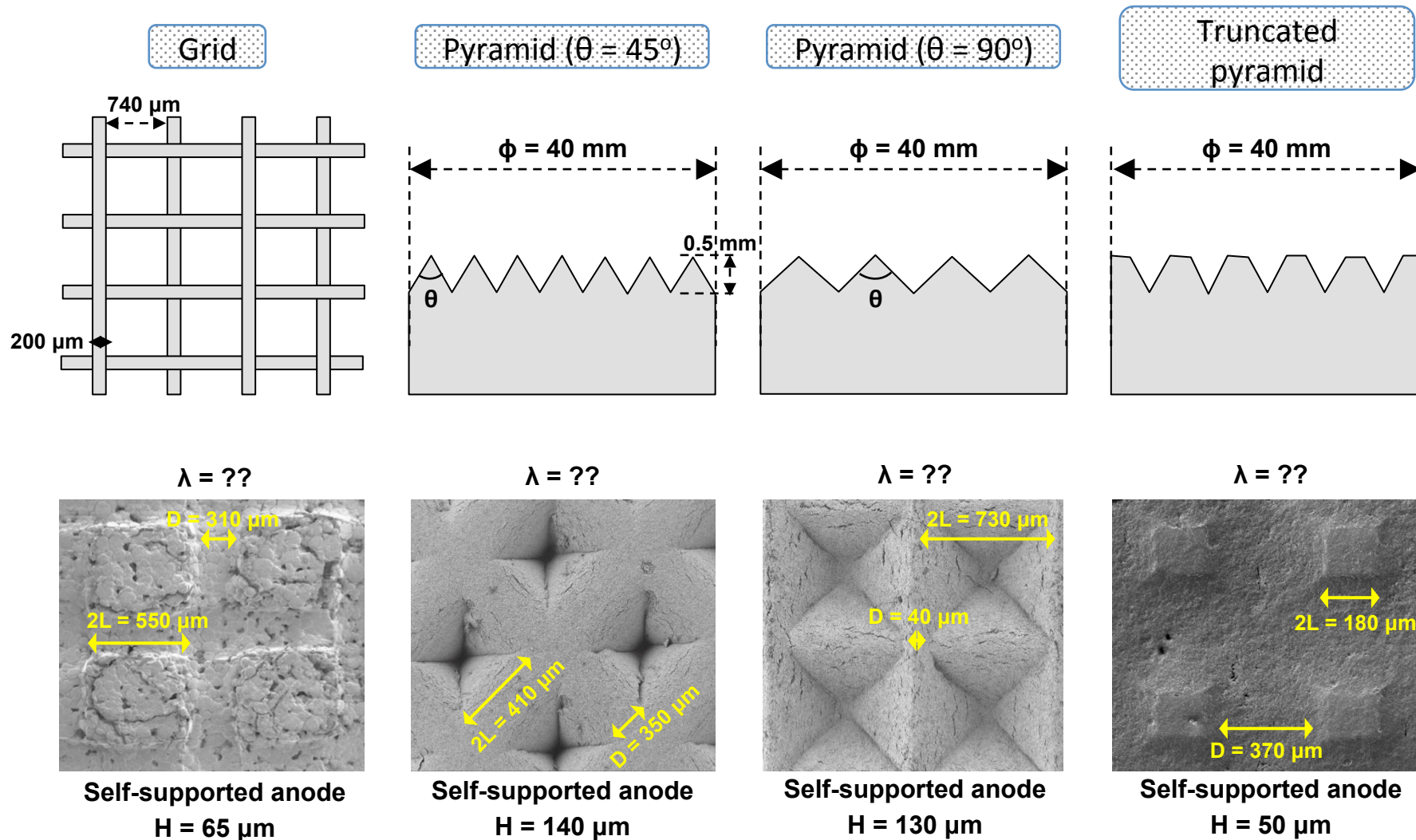
1- Voies d'optimisation : activation



- Corrugation des interfaces
- Impregnation par un catalyseur
- Augmentation de L_{TPB} / S_{TPB}

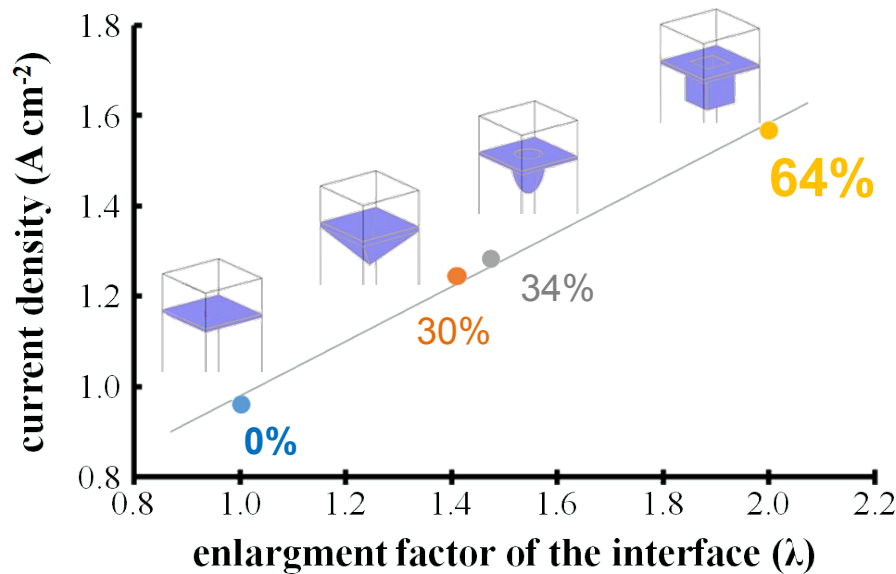
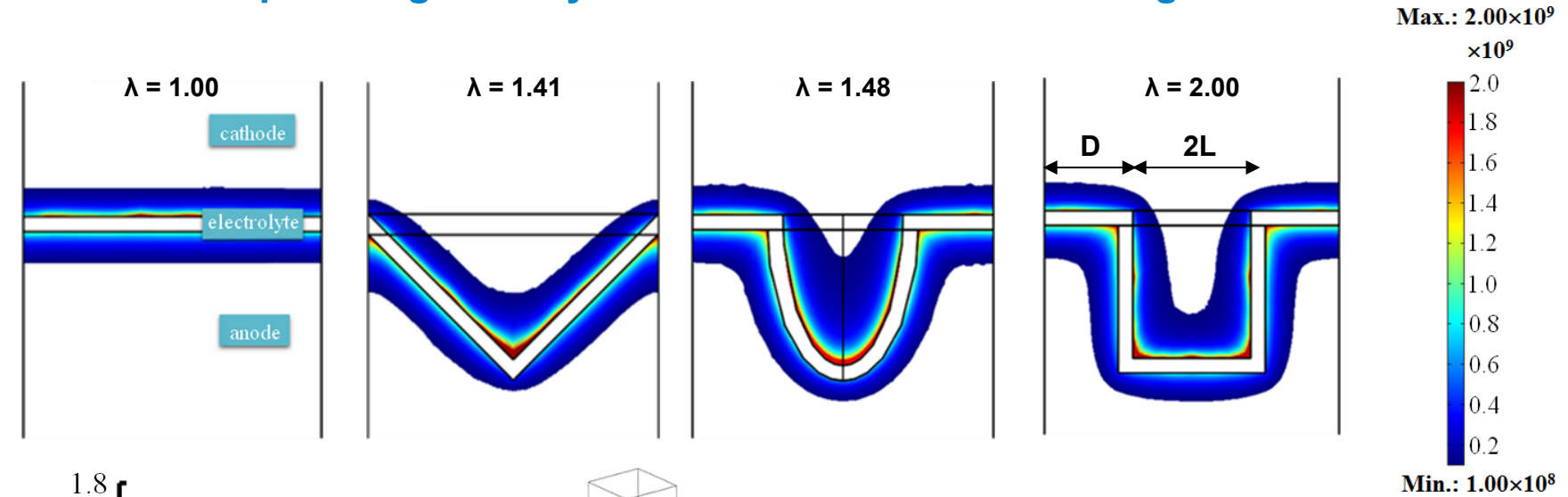
2- Travaux et Résultats : activation

- Architecturation of the self-supported anode by cold stamping



2- Travaux et Résultats : activation

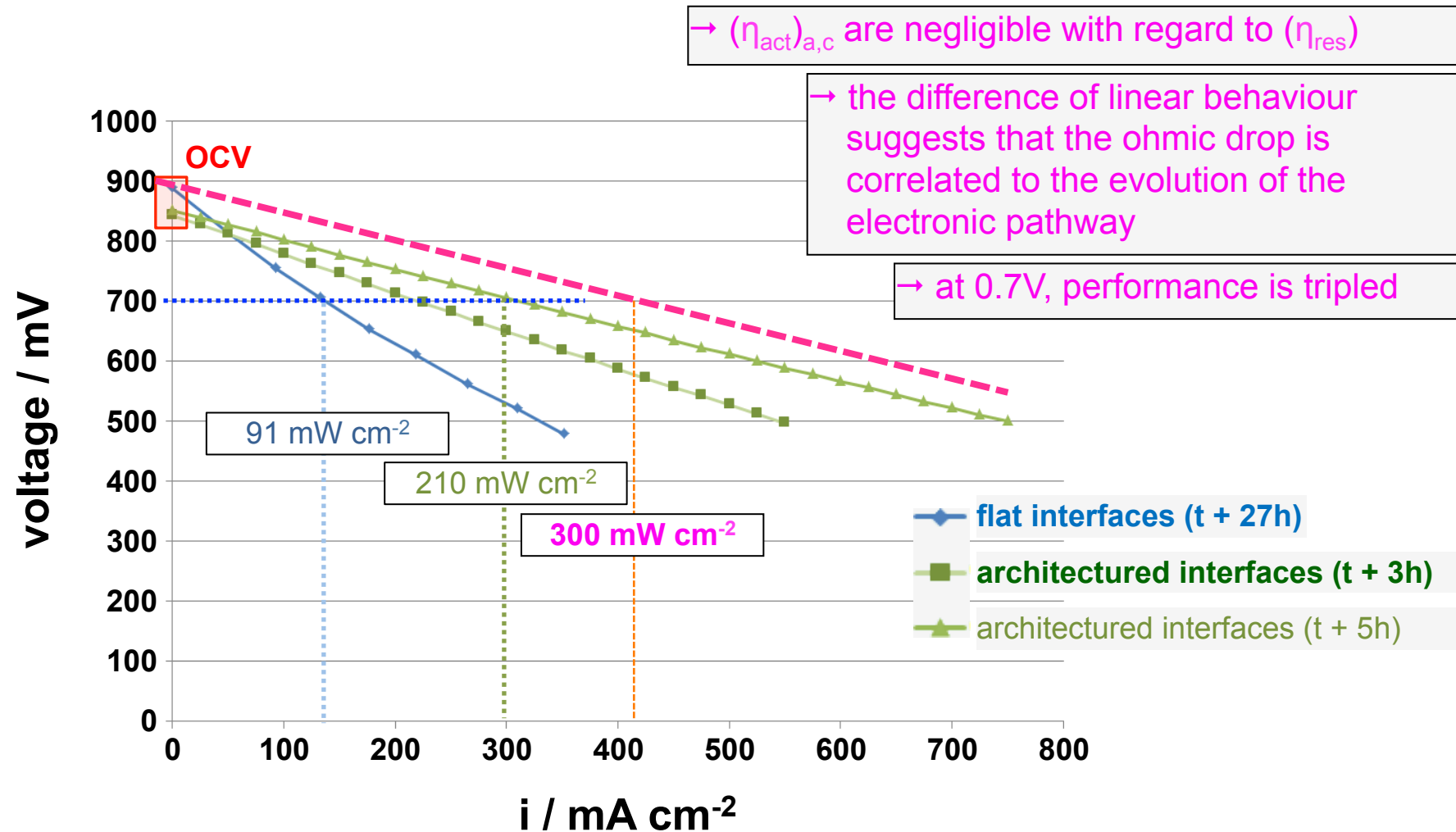
- Effect of pattern geometry on the distribution of exchange currents



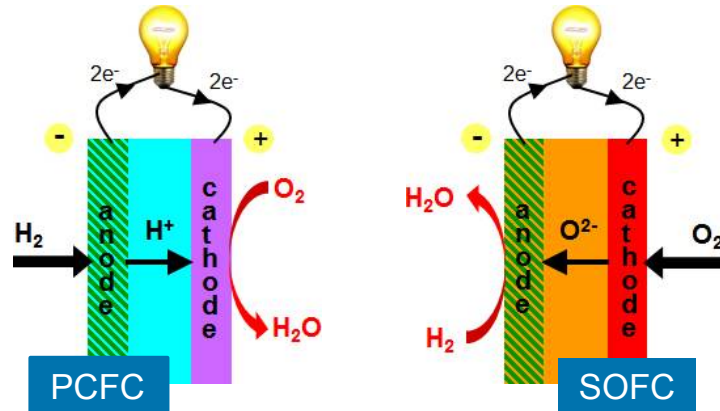
- i_v varies essentially at the vicinity of the interface
- minima and maxima of i_v in convex and concave regions
- D and L should be chosen so as to confine the electrode material ($2L \gg t_{\text{electrolyte}}$)

2- Travaux et Résultats : activation

- i/v characteristic curves : flat vs. architected interfaces



2- Travaux et Résultats : nouveau concept



Limitations

- Formation de H_2O à l'une des électrodes
- Température de fonctionnement élevée



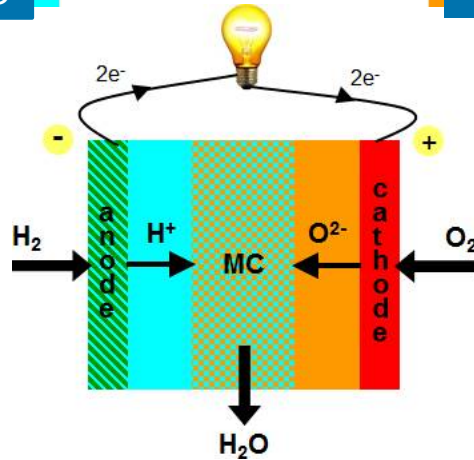
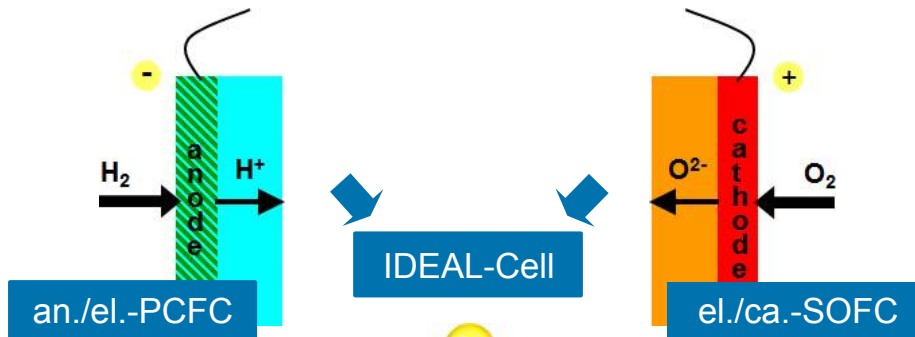
Conséquences

- Perte d'efficacité
- Dégradation accélérée



Durabilité ??

2- Travaux et Résultats : nouveau concept

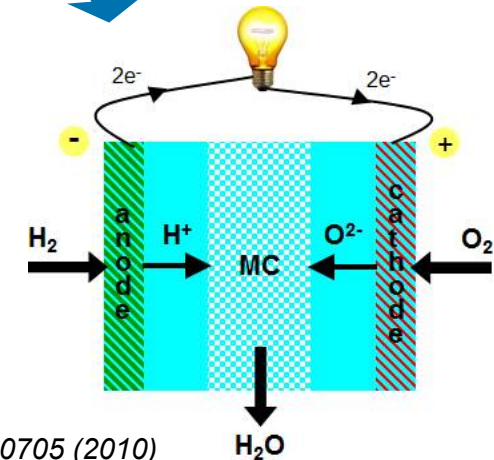
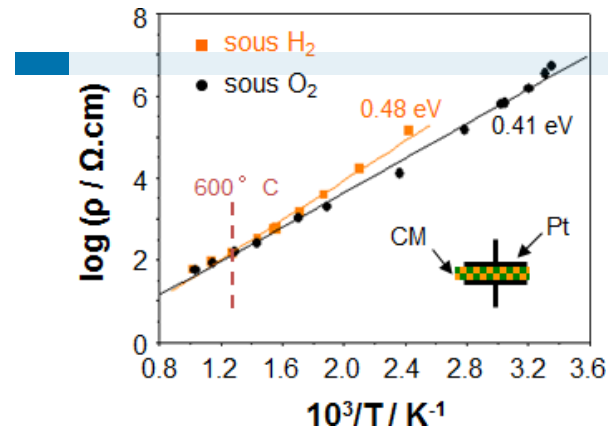


Saut technologique

- pas d'eau aux électrodes ($\rightarrow \eta_{act}$, $\rightarrow \eta_{conc}$, et \rightarrow corrosion)
- possibilité d'appliquer une pression de gaz aux électrodes

Dispositif « Monolithique »

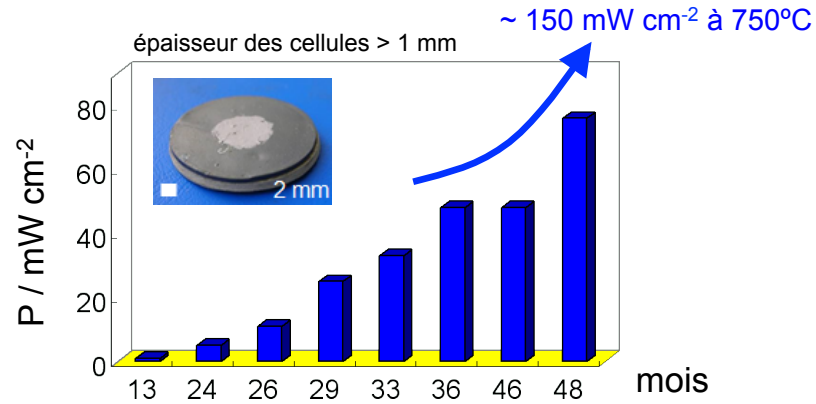
- intégration d'un conducteur mixte (nouveau mécanisme)
- \searrow tortuosité de la phase solide
- segments triples \rightarrow surfaces triples
- mise en forme simplifiée



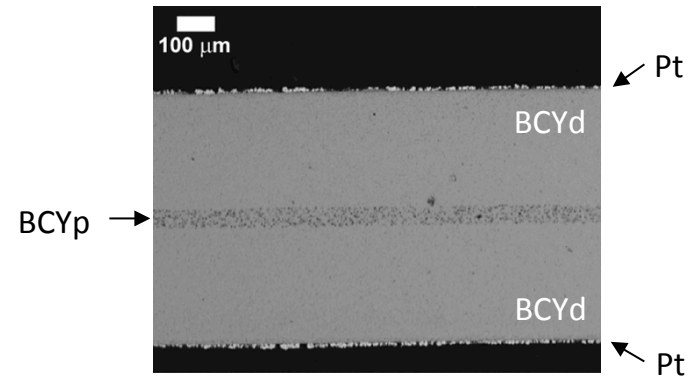
Brevet d'invention N°1060705 (2010)
Déposants : ARMINES

2- Travaux et Résultats : nouveau concept

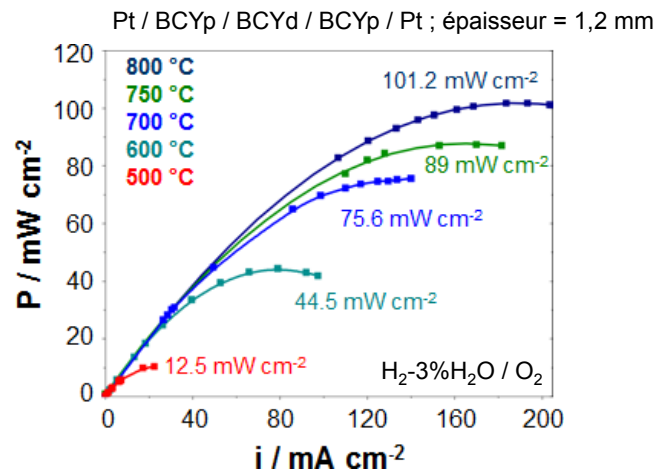
Performances : m-IDEAL-Cell



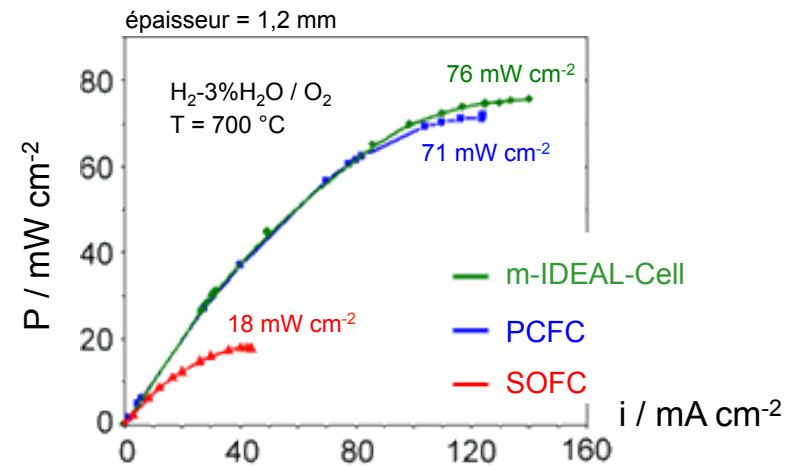
m-IDEAL-Cell : coulage en bande



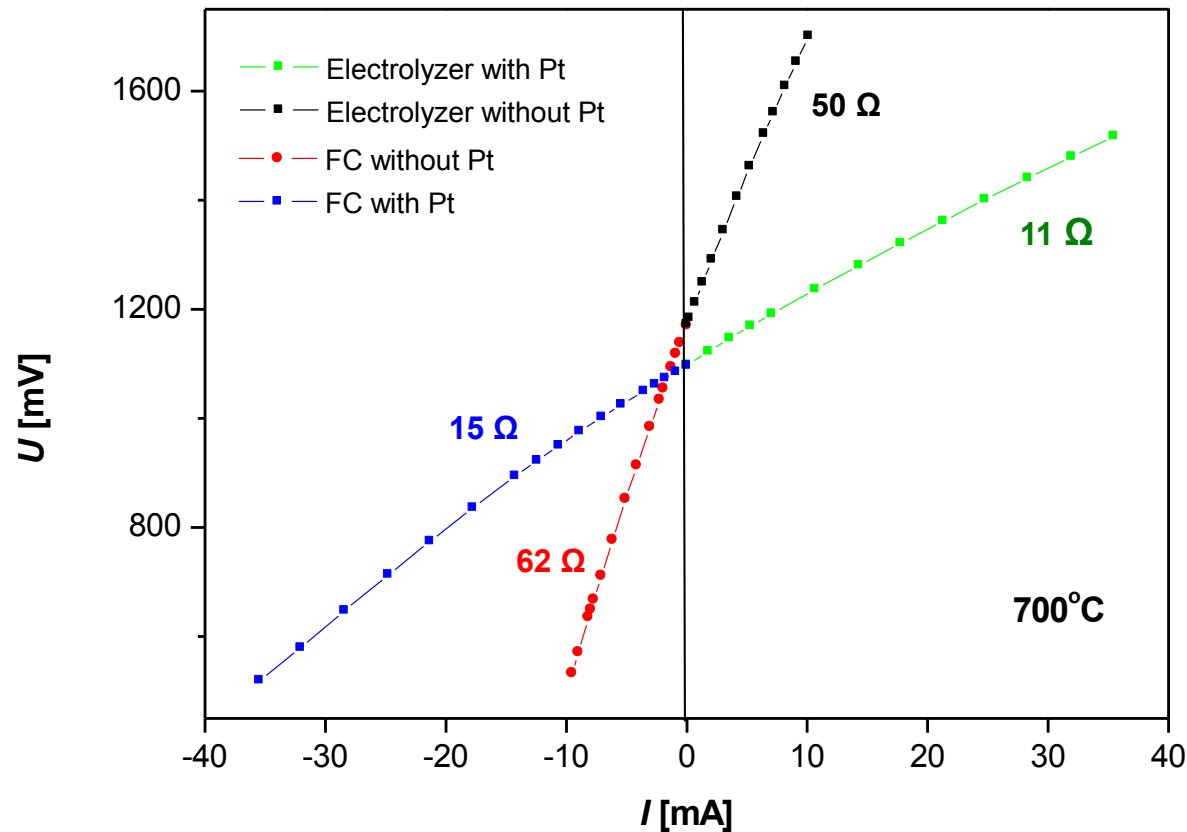
- prédiction : $0,9 \text{ W cm}^{-2}$ (\searrow épaisseurs)



Performances vs. SOFC & PCFC



2- Travaux et Résultats : activation + nouveau concept



$\Omega / 5$ in HTE mode
 $\Omega / 4$ in FC mode

Non optimized millimeter thick dmFC operated in the SOFC mode or in the SOEC mode, with a Central Membrane impregnated with Pt nanoparticles or not, at 700°C

SOFC mode gases:

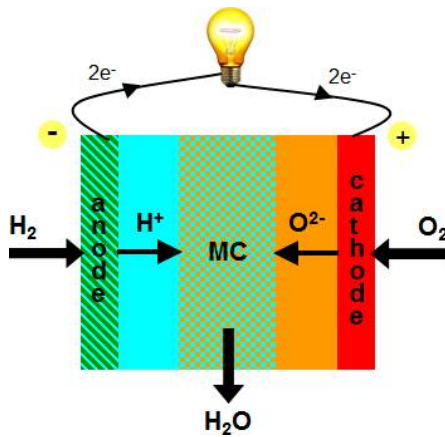
Sample with Pt - $H_2 = 84$ mL/min; $N_2 = 0$;

Air = 108 mL/min;

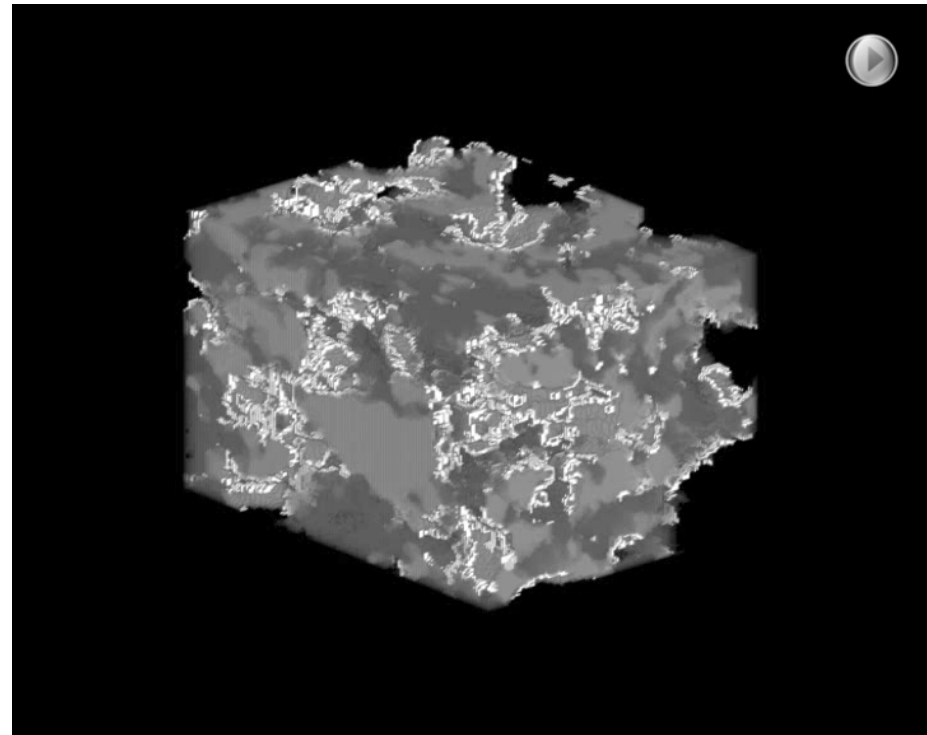
Sample without Pt - $H_2 = 74$ mL/min; $N_2 =$

0; Air = 133 mL/min;

2- Travaux et Résultats : activation + nouveau concept



- Porosité
- Percolation x, y, z
- Tortuosité x, y, z
- Conductivité effective
- Segments triples (TPB) actifs



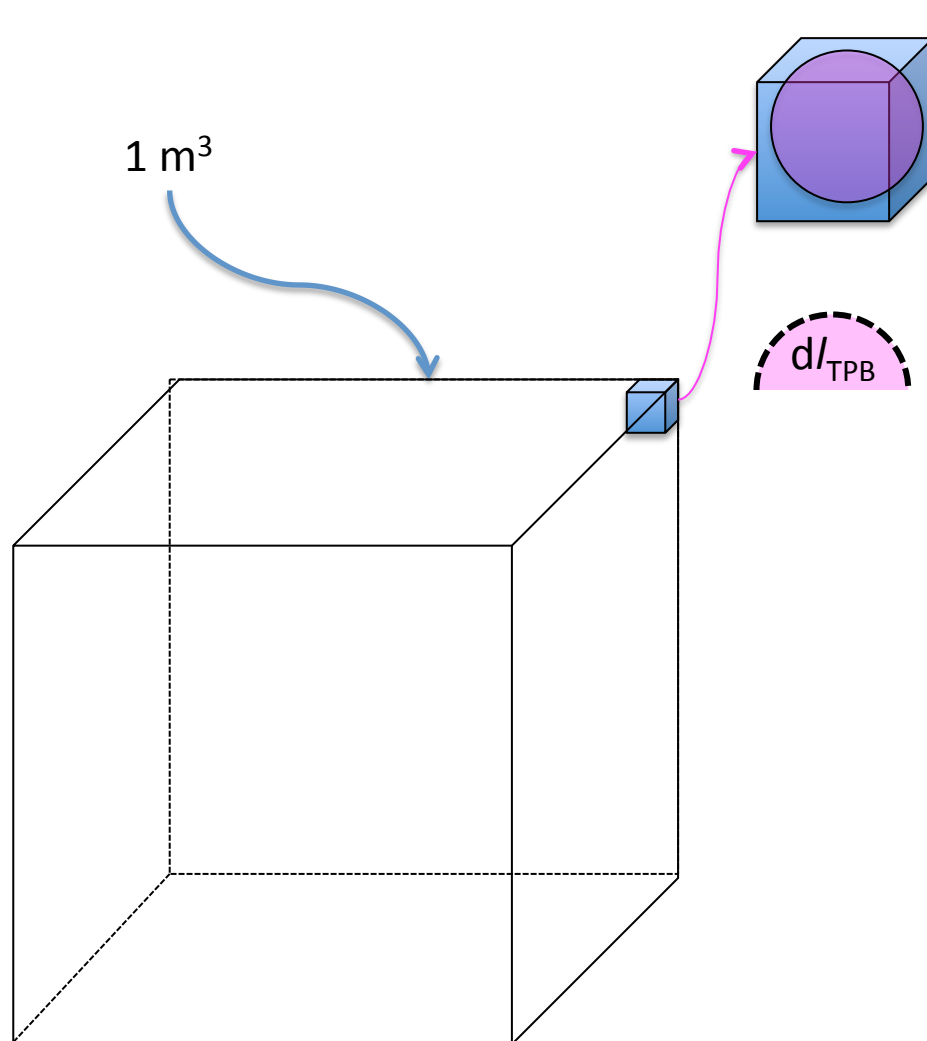
→ permeability (Blake-Kozeny relation) :

$$K = \frac{d_p^2}{72\tau} \times \frac{\varepsilon^3}{(1-\varepsilon)^2}$$

→ kinetics of the reactions at the electrodes (Butler-Volmer relation) :

$$i_V = i_{\text{TPB}} \times \ell_{\text{TPB}} \left[\exp\left(\frac{\alpha_a nF}{RT} \eta_{\text{act}}\right) - \exp\left(-\frac{(1-\alpha_c) nF}{RT} \eta_{\text{act}}\right) \right]$$

$$i_V = i_{TPB} \times l_{TPB} \left[\exp\left(\frac{\alpha_a nF}{RT} \eta_{act}\right) - \exp\left(-\frac{(1-\alpha_c) nF}{RT} \eta_{act}\right) \right]$$



- $d = 2\mu\text{m}$
- Number of grains in 1 m^3 :
 $(1/2 \cdot 10^{-6})^3 = 0.125 \times 10^{18}$
- Hypothesis $d/l_{TPB} = \frac{1}{2}$ circumference :
 $\pi \times 1\mu\text{m} = 3 \times 10^{-6}\text{ m}$ per grain
- Total length of TPB in 1 m^3 :
 $0.125 \times 10^{18} \times 3 \times 10^{-6}\text{ m} = 0.4 \times 10^{12}\text{ m}$

About 3 times the Earth-Sun distance !!

- $1\text{ mm}^3 : l_{TPB} = 0.4 \times 10^3\text{ m}$
- Typical anode ($200\ \mu\text{m} \times [\pi \times 1 \times 10^{-2}\text{cm}]$)
 $60\text{ mm}^3 : l_{TPB} = 24 \times 10^3\text{ m}$
- modelling : $l_{TPB} = 1.8 \times 10^{12}\text{ m.m}^3$
- ideal-cell₂₀₁₁ : $l_{TPB} = 0.6 \times 10^{12}\text{ m.m}^3$

3- Difficultés



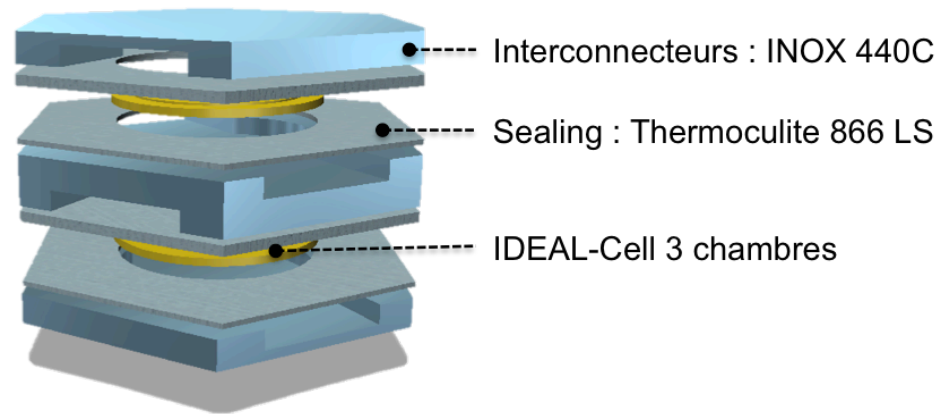
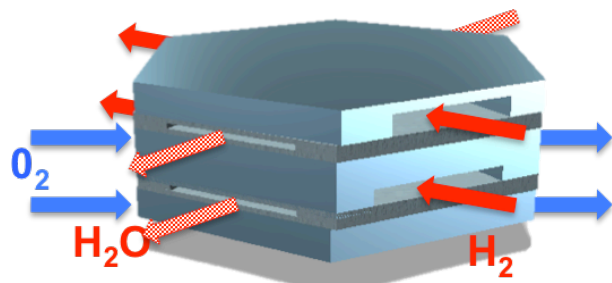
Piles à Combustible

Prochaines étapes

1. le projet RIGEL
2. le consortium
3. déclinaisons

1- Le projet RIGEL

Unité de base "unit stack"

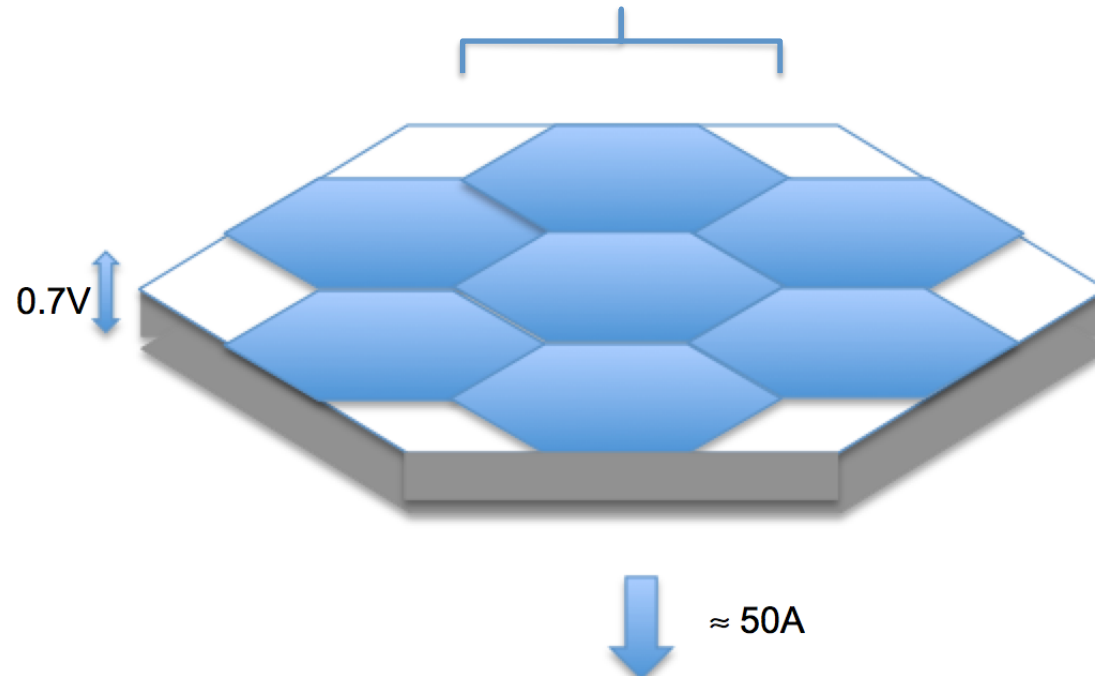


1- Le projet RIGEL

- Cellule unitaire (ex) :
20 cm²; 300 mW/cm²
à 0,7 V; 400 mA/cm²

Cassette intégrant 6 ou 7 "unit stacks"

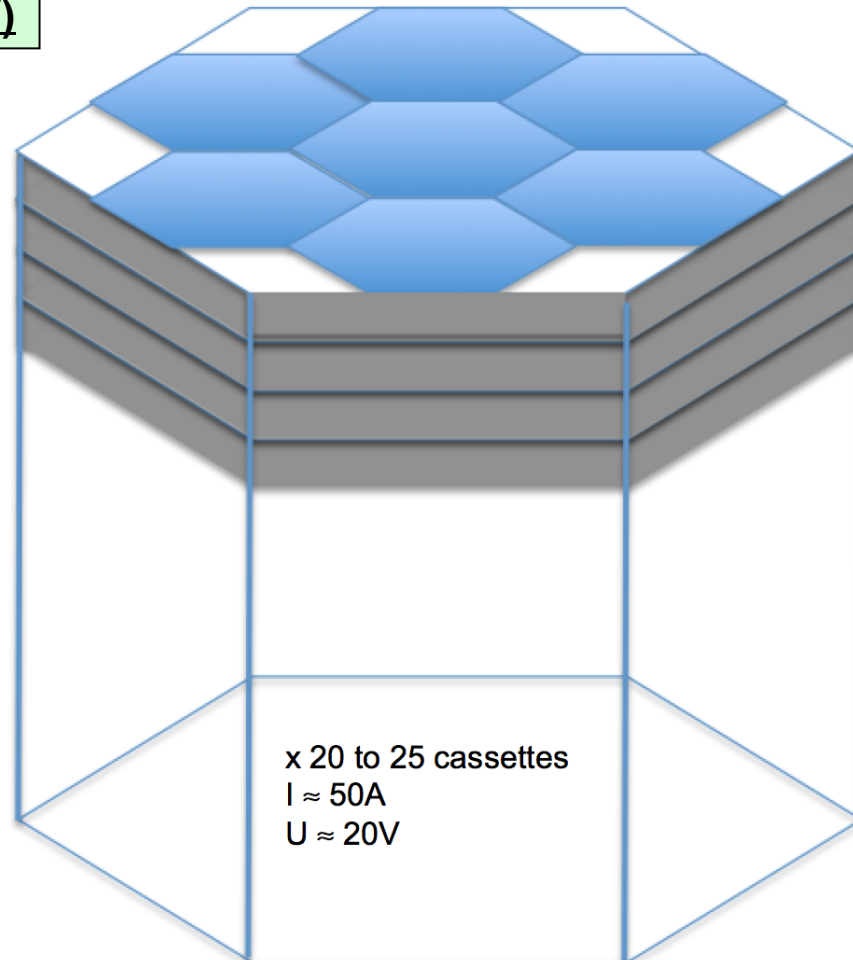
- cassette:
140 cm²; 0,7 V; 50 to 55 A



Extension horizontale augmente l'intensité
Extension verticale augmente le voltage

1- Le projet RIGEL

1kW stack (50A, 20V)



Bi-modularité

1- Le projet RIGEL

RIGEL-Stack

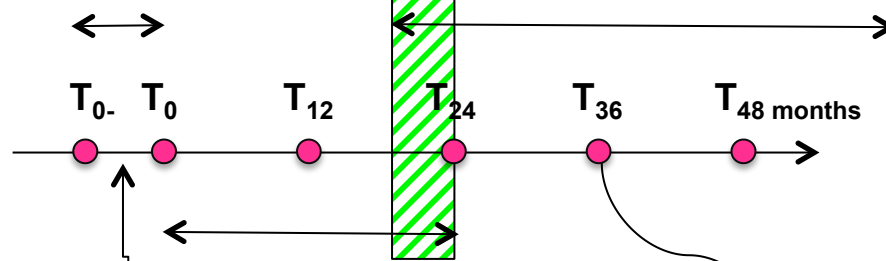
- prochaines étapes (stacking, stratégie,...)

- réalisation d'un stack de 1kW (3 concepts)
- testé, éléments de BoP, réversible
- habilité à produire H₂
- bi-modulaire (développement simplifié)
- à un coût compétitif (Capex)

**Organisation
Du Projet**

timescale

**Industrialisation etc.
(Phase II) ; avec 1 industriel développeur**

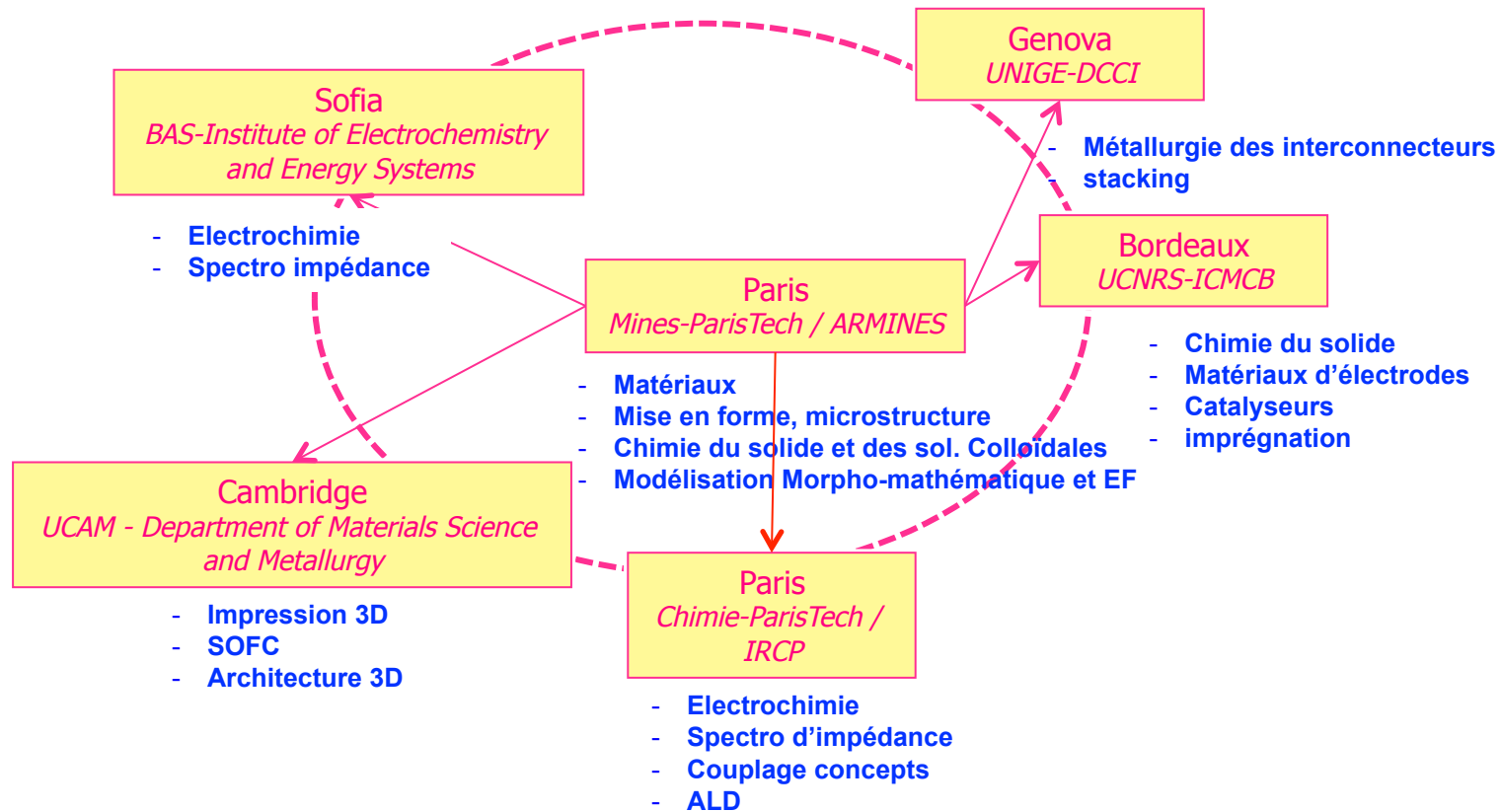


R&D (Phase I)

**Véhicule financier, distribution
budget, achat équipements, etc.**

Offre ≥ demande

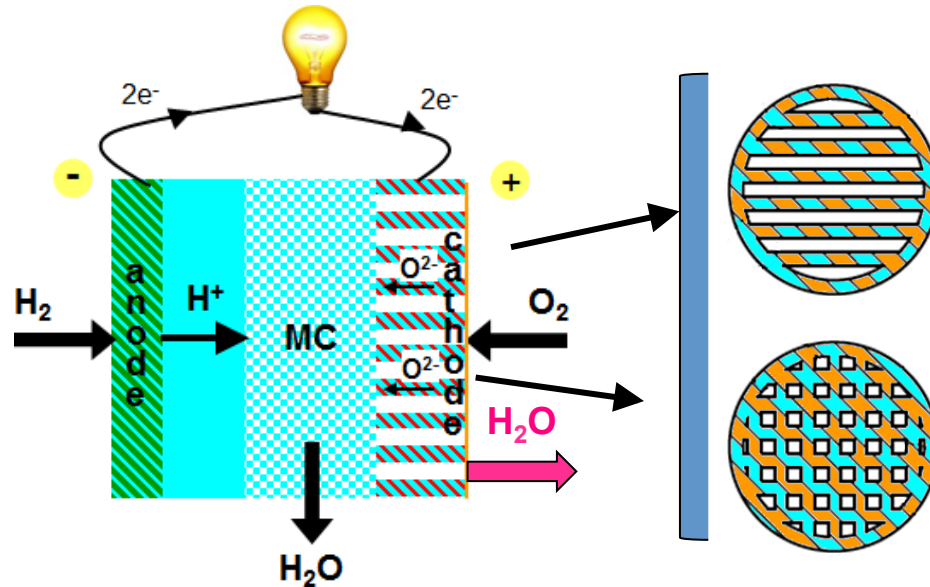
2- Le consortium



3- Déclinaisons de la Technologie Monolithique : le concept ZEBRA

Brevet ARMINES N°1159969 – 2011

ZEBRA, un concept de pile à combustible à cathode avec canaux



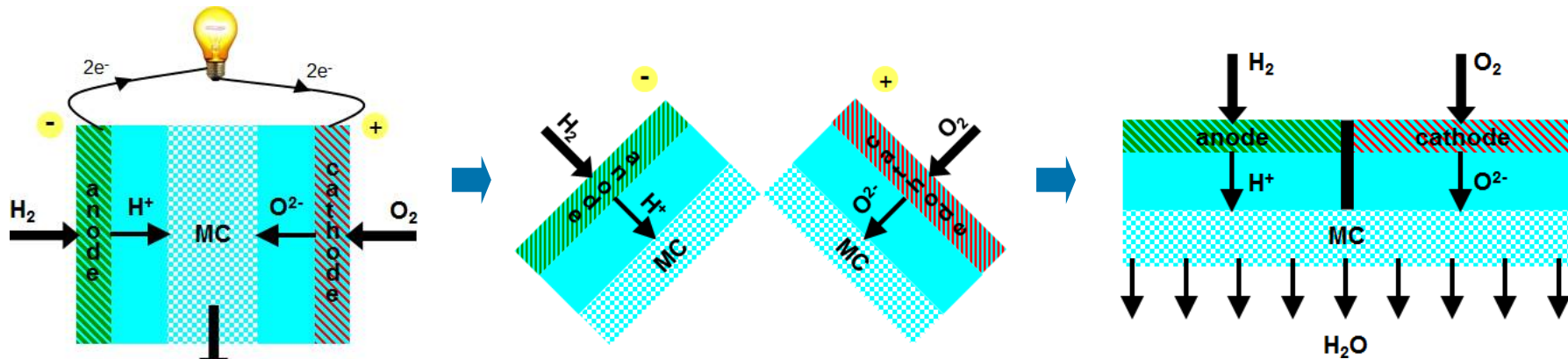
- design à 2 chambres séparées
- configuration idéale pour la production de H₂
- ↗ surface libre du côté cathodique
- 160 mW cm⁻² pour des cellules d'épaisseurs ± 1 mm

Brevet d'invention N°1159969 (2011)
Déposants : ARMINES, IEES, CNR

		Pmax / mW cm ⁻² (air)				Pmax / mW cm ⁻² (O ₂)			
		600°C	700°C	800°C	850°C	600°C	700°C	800°C	850°C
MC fine (~ 100 μm)	Pt01 (1 mm)	35	60	-	123	-	80	132	160
MC épaisse (~ 400 μm)	Pt04 (1 mm)	8	17	-	-	-	-	-	-
	ZEBRA (0,7 mm)	-	107	-	-	-	156	-	-

3- Déclisaisons de la Technologie Monolithique : le concept RIGEL 3D

RIGEL, un concept de PAC à conduction mixte par ions H^+ et O^{2-} réversible et durable pour couplage avec des RES



- design à 3 chambres séparées
- prédiction : $\searrow \searrow \eta$ de la MC
- réversibilité optimale
- cellule « compacte », diamètre non limité
- mise en forme : impression 3D, procédés informatisés

